

## บทที่ 2

### ทฤษฎีและเอกสารที่เกี่ยวข้อง

ในบทนี้กล่าวถึงทฤษฎีและเอกสารที่เกี่ยวข้องตามหัวข้อต่อไปนี้

- 2.1 สมการชเรอดิงเงอร์ 1 มิติ ที่ไม่ขึ้นกับเวลา
- 2.2 บ่อศักย์แบบต่าง ๆ
- 2.3 วิธีการคำนวณเชิงตัวเลขที่ใช้ในงานวิจัย
- 2.4 งานวิจัยหรือโปรแกรมเกี่ยวกับการจำลองปรากฏการณ์ในกลศาสตร์ควอนตัม

#### 2.1 สมการชเรอดิงเงอร์ 1 มิติ ที่ไม่ขึ้นกับเวลา

(Time independent Schrodinger equation in 1 dimension)

สมการชเรอดิงเงอร์ (Schrödinger equation) สำหรับระบบควอนตัมทั่วไป (General quantum system) มีรูปสมการดังนี้

$$\hat{H}\psi = i\hbar \frac{\partial \psi}{\partial t} \quad (2.1)$$

เมื่อ  $\Psi$  คือ ฟังก์ชันคลื่นของอนุภาค

$i\hbar \frac{\partial}{\partial t}$  คือ ตัวปฏิบัติการพลังงาน (Energy operator)

$\hat{H}$  คือ ตัวปฏิบัติการแฮมิลโทเนียน (Hamiltonian operator)

กรณีเฉพาะสำหรับอนุภาคที่ถูกกักอยู่ในบ่อศักย์ โดยที่การเปลี่ยนแปลงของระบบควอนตัมนี้ไม่ขึ้นกับเวลา (time independent) สามารถเขียนสมการชเรอดิงเงอร์จากสมการ (2.1) ให้อยู่ในรูปของสมการอนุพันธ์ย่อยอันดับสอง คือ

$$\left( -\frac{\hbar^2}{2m} \nabla^2 + V(r) \right) \Psi(r) = E\Psi(r)$$
$$\hat{H} = -\frac{\hbar^2}{2m} \nabla^2 + V(r)$$

$V(r)$  คือ พลังงานศักย์ที่ตำแหน่ง  $r$  ใด ๆ ในบริเวณนั้น ไม่ขึ้นกับเวลา

$E$  คือ พลังงานทั้งหมดของระบบ

การหาค่าเฉลยของสมการนี้เพื่อหาฟังก์ชันคลื่นของอนุภาคค่อนข้างยุ่งยากและซับซ้อน และขึ้นอยู่กับพลังงานศักย์ตรงบริเวณที่อนุภาคนั้นอยู่ด้วย ในที่นี้จึงใช้กรณีที่เข้าใจได้ง่ายคือ การเคลื่อนที่ของอนุภาคเป็นแบบ 1 มิติ ในบ่อศักย์ 1 มิติเช่นกัน สมการชเรอดิงเงอร์ จะกลายเป็น

$$\left( -\frac{\hbar^2}{2m} \frac{\partial^2}{\partial x^2} + V(x) \right) \Psi(x) = E\Psi(x)$$

$$-\frac{\hbar^2}{2m} \frac{\partial^2 \psi(x)}{\partial x^2} + V(x)\psi(x) = E\psi(x)$$

$$\frac{\partial^2 \psi(x)}{\partial x^2} + \frac{2m}{\hbar^2} (E - V(x))\psi(x) = 0 \quad (2.2)$$

พิจารณาเทอม  $\frac{2m}{\hbar^2} (E - V(x))$  หรือเขียนในรูป  $\frac{2mc^2}{\hbar^2 c^2} (E - V(x))$  ถ้าอนุภาคเป็นอิเล็กตรอน จะได้  $mc^2 = 5.11 \times 10^5 \text{ eV}$  และ  $\hbar c = 197.3 \text{ eV nm}$  ปรากฏการณ์ที่มีขนาดเล็กระดับอะตอม นิยมใช้หน่วยในการวัดพลังงานเป็น eV และวัดขนาดความยาวเป็น nm

อย่างไรก็ตาม หน่วยในระบบ SI หรือ CGS เหมาะสมกับการใช้อธิบายปริมาณทางฟิสิกส์ในกลศาสตร์คลาสสิก แต่ถ้านำมาใช้ในกลศาสตร์ควอนตัม เช่นในการคำนวณเชิงตัวเลขที่เกี่ยวข้องกับค่าคงที่ของพลังค์ (Planck's constant) มีขนาดประมาณ  $10^{-34}$  จูล.วินาที มวลของอิเล็กตรอนมีขนาดประมาณ  $10^{-31}$  กิโลกรัม จะเกิดความคลาดเคลื่อนอันเกิดจากคอมพิวเตอร์คำนวณเลขจำนวนน้อย ๆ ได้ง่ายมาก และในกรณีที่มีการคำนวณซ้ำ ๆ หลายรอบ ความคลาดเคลื่อนนี้จะถูกสะสมไว้ ทำให้ผลลัพธ์ที่ได้ห่างไกลค่าแท้จริงอย่างสิ้นเชิง

เพื่อให้เกิดความสะดวกในการคำนวณ จึงเลือกใช้ หน่วยในระบบอะตอม หรือ Atomic Units หน่วยนี้จะกำหนดให้ค่าคงที่ของพลังค์ และมวลของอิเล็กตรอน มีขนาด 1 หน่วย ( $m_e = \hbar = 1$ ) การกำหนดเช่นนี้จึงเกิดหน่วยใหม่ขึ้นเป็นจำนวนมาก (ดูรายละเอียดในภาคผนวก 1) สมการ (2.2) จะถูกลดรูปเหลือเพียง

$$\frac{\partial^2 \psi(x)}{\partial x^2} + 2(E - V(x))\psi(x) = 0 \quad (2.3)$$

สมบัติของฟังก์ชันคลื่นที่เป็นผลเฉลยของสมการชเรอดิงเงอร์ บางประการที่จะต้องนำไปใช้ในการคำนวณของโปรแกรม มีดังนี้

1. รูปแบบของฟังก์ชันจะเป็นฟังก์ชันคู่และฟังก์ชันคี่สลับกันไป (จะเป็นฟังก์ชันคู่หรือคี่นั้น โดยการเทียบกับเส้นที่แบ่งครึ่งตรงกลางของบ่อศักย์) และเป็นจริงเช่นนี้เสมอสำหรับพลังงานค้ำยกทุกแบบ ที่มีคุณสมบัติสมมาตร หรือ  $V(-x) = V(x)$

2. ฟังก์ชันคลื่นที่สอดคล้องกับจำนวนเต็ม  $n = 1, 2, 3, \dots$  เรียก  $n$  ว่าเลขควอนตัม (quantum number) จะเป็นฟังก์ชันเจาะจง (eigen function) ใช้ในการอธิบายระดับพลังงานของ

อนุภาค (E, energy) ในบ่อศักย์ เรียก E ว่าเป็นค่าเจาะจง (eigenvalue) ที่สถานะ  $n = 1$  จะเป็นค่าพลังงานต่ำสุดของระบบ เรียกระดับพลังงานนี้ว่าเป็นระดับ ground state

3. ในการแปลความหมายฟังก์ชันคลื่น จะใช้ขนาดของฟังก์ชันคลื่น (magnitude of the wave function) เป็นตัวบ่งบอกถึงความน่าจะเป็นที่จะพบอนุภาคในบริเวณดังกล่าว เรียกว่า Probability density เขียนเป็นสัญลักษณ์คือ  $P(x,t)$

$$P(x,t) = \psi^*(x,t)\psi(x,t) \quad (2.4)$$

ซึ่งเป็นการหาอัมพลิจูดของฟังก์ชันคลื่นนั่นเอง ถ้ามีอนุภาคอยู่ในระบบหนึ่ง ความน่าจะเป็นที่จะพบอนุภาคในบริเวณนั้นควรมีค่าเป็น 1 หรือมีโอกาสที่จะพบอนุภาคนั้นอยู่ในบริเวณนั้นอย่างแน่นอน 100% นั่นคือ

$$\int_{-\infty}^{+\infty} \psi^*(x)\psi(x)dx = 1 \quad (2.5)$$

สมการ (2.5) เป็นการปรับความสูงของอัมพลิจูดของฟังก์ชันคลื่น ขั้นตอนนี้เราเรียกว่า Normalization ฟังก์ชันคลื่น  $\psi(x)$  และอนุพันธ์ของมันจะต้องมีค่าต่อเนื่องทุกค่าของ  $x$  จากสมการ (2.5) จะเห็นได้ว่า กำลังสองของฟังก์ชันคลื่นต้องสามารถหาปริพันธ์ได้ด้วย

4. ฟังก์ชันคลื่นของอนุภาคในบ่อศักย์ (ที่ไม่ใช่ตรงผนังของบ่อ) อาจมีค่าเป็นศูนย์ได้ในบางตำแหน่งของ  $x$  เราเรียกจุด  $x$  ที่ทำให้ฟังก์ชันคลื่น ณ ตำแหน่งนี้มีค่าเป็นศูนย์ว่า node หรือ zero crossing จำนวน node ของฟังก์ชันคลื่นของอนุภาคที่มีพลังงาน  $E_n$  พบว่ามีจำนวน  $n - 1$  จุด และพบว่าที่ระดับพลังงานที่  $n = 1$  ไม่มี node เกิดขึ้นที่ระดับพลังงานนี้

5. ฟังก์ชันคลื่นของอนุภาคที่ถูก normalize แล้วมีคุณสมบัติเป็น orthogonal (ตั้งฉากซึ่งกันและกัน) หรือ orthonormal (เป็นทั้ง orthogonal และ normalize) สามารถเขียนเป็นสมการได้เป็น

$$\int_{-\infty}^{+\infty} \psi_m^*(x)\psi_n(x)dx = \delta_{mn}$$

เมื่อ  $\delta_{mn}$  คือ Kronecker delta function มีค่าเท่ากับ 1 เมื่อ  $m = n$  (ซึ่งก็คือสมการ (2.5) นั่นเอง) และมีค่าเป็น 0 เมื่อ  $m \neq n$  คุณสมบัตินี้สอดคล้องกับคุณสมบัติของเวกเตอร์ เราจึงสามารถเขียนเซตของฟังก์ชันคลื่นในแบบ vector space ได้

6. สามารถเขียนฟังก์ชันคลื่นอยู่ในรูป complete set โดยที่เราสามารถเขียนฟังก์ชัน  $f(x)$  ซึ่งเป็นฟังก์ชันใด ๆ ในรูปของฟังก์ชันคลื่นดังนี้

$$f(x) = \sum_{n=1}^{\infty} c_n \psi_n$$

การหาค่าสัมประสิทธิ์  $c_n$  ซึ่งเป็นค่าคงที่ สามารถอาศัยสมบัติ Normalization และเทคนิคการแปลงแบบฟูเรียร์ (Fourier transformation) หาได้โดยตรงดังนี้

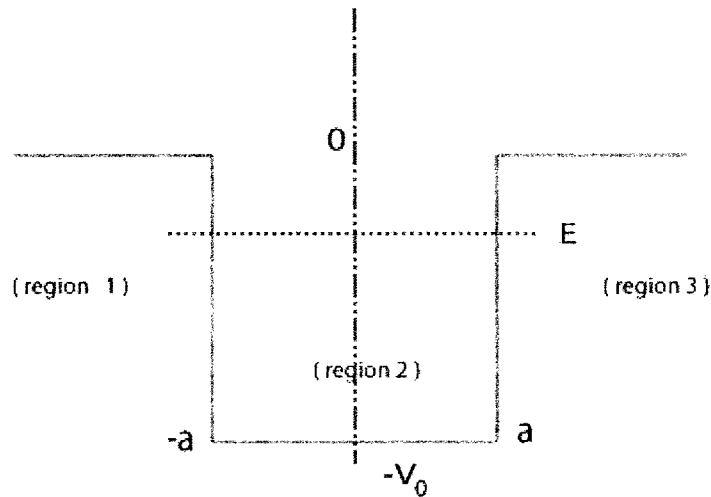
$$\int_{-\infty}^{\infty} \psi_n^*(x) f(x) dx = \sum_{n=1}^{\infty} c_n \int_{-\infty}^{\infty} \psi_n^*(x) \psi_n(x) dx = \sum_{n=1}^{\infty} c_n \delta_{mn}$$

$$\sum_{n=1}^{\infty} c_n = \int_{-\infty}^{\infty} \psi_n^*(x) f(x) dx$$

## 2.2 บ่อศักย์แบบต่าง ๆ

2.2.1 บ่อศักย์เป็นแบบสี่เหลี่ยมมีความลึกจำกัด (1 dimensional finite rectangular well)  
อนุภาคมวล  $m$  เคลื่อนที่ในบ่อศักย์ที่มีขอบเขต ดังนี้

$$V = \begin{cases} -V_0 & \text{if } -a < x < a \\ 0 & \text{if } |x| \geq a \end{cases}$$



รูป 2.1 บ่อศักย์แบบสี่เหลี่ยมมีความลึกจำกัดใน 1 มิติ

อนุภาคที่มีพลังงานมากกว่าศูนย์ ( $E > 0$ ) จะไม่ถูกกักไว้ในบ่อ แต่จะถูกกระเจิงออกไปโดยพลังงานศักย์ของบ่อ อนุภาคที่มีพลังงานน้อยกว่าศูนย์ ( $-V_0 < E < 0$ ) จะถูกยึดไว้ในบ่อศักย์ เรียกกรณีนี้ว่าเป็น Bound state ตามทฤษฎีของกลศาสตร์คลาสสิก อนุภาคจะถูกกักและสะท้อนกลับไปกลับมาะหว่างขอบเขต  $-a < x < a$  เท่านั้น โดยที่อนุภาคจะมีค่าพลังงานเป็นค่าใด ๆ ก็ได้

ในกลศาสตร์ควอนตัม พลังงานของอนุภาคจะมีค่าได้เพียงบางค่าเท่านั้น และค่านี้เป็นค่าเจาะจง (Eigen value) ของฟังก์ชันคลื่นที่เป็น Eigen function ที่สอดคล้องกัน

ในแต่ละบริเวณสามารถเขียน สมการ (2.2) ได้แตกต่างกันดังนี้

บริเวณที่ 1 (region 1) บริเวณนี้  $x < a$  แทนค่า  $V(x) = 0$   $E = -E$

$$\frac{\partial^2 \psi(x)}{\partial x^2} = \frac{2m}{\hbar^2} E \psi(x)$$

บริเวณที่ 2 (region 2)  $-a \leq x \leq a$  แทนค่า  $V(x) = -V_0$  และ  $E$  มีค่าติดลบ

$$\frac{\partial^2 \psi(x)}{\partial x^2} + \frac{2m}{\hbar^2} (V_0 - E) \psi(x) = 0$$

บริเวณที่ 3 (region 3)  $x > a$  แทนค่า  $V = 0$

$$\frac{\partial^2 \psi(x)}{\partial x^2} = \frac{2m}{\hbar^2} E \psi(x)$$

เพื่อสะดวกต่อการเขียนสมการ จึงกำหนดให้

$$\ell = \sqrt{\frac{2mE}{\hbar^2}} \tag{2.6}$$

$$\text{และ } \kappa = \sqrt{\frac{2m}{\hbar^2} (V_0 - E)} \tag{2.7}$$

ค่า  $\ell$  และ  $\kappa$  เป็นจำนวนจริงบวก กรณี bound state  $V_0 - E > 0$

บริเวณที่ 1 และบริเวณที่ 3 :  $V = 0$  แทนค่า  $\ell = \sqrt{\frac{2mE}{\hbar^2}}$  สมการจะกลายเป็น

$$\frac{\partial^2 \psi}{\partial x^2} - \ell^2 \psi = 0 \tag{2.8}$$

บริเวณที่ 1 จะได้ผลเฉลยทั่วไป

$$\psi_1 = A e^{\ell x} + B e^{-\ell x}$$

เมื่อ  $A$  และ  $B$  คือค่าคงที่ พิจารณาที่  $x \rightarrow -\infty$  จะเห็นว่าเทอม  $B e^{-\ell x}$  มีค่ามาก นั่นหมายถึง  $\psi_1$  มีค่ามากตามไปด้วย ซึ่งเป็นไปไม่ได้ ดังนั้น  $B$  จึงต้องมีค่าเป็นศูนย์ ผลเฉลยของสมการจะเหลือเพียง

$$\psi_1 = Ae^{\ell x}$$

บริเวณที่ 3 จะได้ผลเฉลยทั่วไปคือ

$$\psi_3 = Fe^{\ell x} + Ge^{-\ell x}$$

เมื่อ F และ G คือค่าคงที่ พิจารณาที่  $x \rightarrow +\infty$  จะเห็นว่าเทอม  $Fe^{\ell x}$  มีค่ามาก อันที่จริง  $\psi_3$  ควรมีค่าเป็นศูนย์ ดังนั้น F จึงต้องมีค่าเป็นศูนย์ ดังนั้นผลเฉลยของสมการคือ

$$\psi_3 = Ge^{-\ell x}$$

บริเวณที่ 2:  $V = -V(x)$  ค่าพลังงานของอนุภาค  $|E|$  มีค่าน้อยกว่า  $|V(x)|$  เมื่อแทนค่า

$\kappa = \sqrt{\frac{2m}{\hbar^2}(V_0 - E)}$  แล้วรูปสมการจะได้เป็น

$$\frac{\partial^2 \psi}{\partial x^2} + \kappa^2 \psi = 0 \tag{2.9}$$

ผลเฉลยทั่วไปของสมการนี้คือ

$$\psi_2 = Ce^{i\kappa x} + De^{-i\kappa x}$$

เมื่อ C และ D คือค่าคงที่

อาศัยเงื่อนไขขอบเขตตรงบริเวณรอยต่อ (Boundary condition) ที่ว่า ฟังก์ชันคลื่นและอนุพันธ์อันดับหนึ่งของฟังก์ชันคลื่นตรงบริเวณรอยต่อ ( $x = -a$  และ  $x = a$ ) ต้องมีค่าต่อเนื่อง

ที่  $x = -a$  ใช้เงื่อนไข  $\psi_1(-a) = \psi_2(-a)$  จะได้

$$Ae^{-\ell a} = Ce^{-i\kappa a} + De^{i\kappa a} \tag{2.10}$$

ใช้เงื่อนไข  $\left. \frac{\partial \psi_1}{\partial x} \right|_{x=-a} = \left. \frac{\partial \psi_2}{\partial x} \right|_{x=-a}$  จะได้

$$Ale^{-\ell a} = i\kappa(Ce^{-i\kappa a} - De^{i\kappa a}) \tag{2.11}$$

ที่  $x = +a$  ใช้เงื่อนไข  $\psi_2(a) = \psi_3(a)$  จะได้

$$Ge^{-\ell a} = Ce^{i\kappa a} + De^{-i\kappa a} \tag{2.12}$$

ใช้เงื่อนไข  $\left. \frac{\partial \psi_2}{\partial x} \right|_{x=a} = \left. \frac{\partial \psi_3}{\partial x} \right|_{x=a}$  จะได้

$$-Gle^{-\ell a} = i\kappa(Ce^{+i\kappa a} - De^{-i\kappa a}) \quad (2.13)$$

หาค่าของ C และ D ในเทอมของ A จะได้

$$i\kappa(2.10) + (2.11) \quad C = e^{(-\ell+i\kappa)a} \left( \frac{\ell+i\kappa}{2i\kappa} \right) A \quad (2.14)$$

$$(2.11) - i\kappa(2.10) \quad -D = e^{-(\ell+i\kappa)a} \left( \frac{\ell-i\kappa}{2i\kappa} \right) A \quad (2.15)$$

หาค่าของ C และ D ในเทอมของ G จะได้

$$i\kappa(2.12) + (2.13) \quad -C = e^{-(\ell+i\kappa)a} \left( \frac{\ell-i\kappa}{2i\kappa} \right) G \quad (2.16)$$

$$(2.13) - i\kappa(2.12) \quad D = e^{(-\ell+i\kappa)a} \left( \frac{\ell+i\kappa}{2i\kappa} \right) G \quad (2.17)$$

หาความสัมพันธ์ระหว่าง A และ G

จากสมการ (2.14) และ (2.16) ต่างเท่ากับ C จะได้

$$e^{(-\ell+i\kappa)a} \left( \frac{\ell+i\kappa}{2i\kappa} \right) A = -e^{-(\ell+i\kappa)a} \left( \frac{\ell-i\kappa}{2i\kappa} \right) G \quad (2.18)$$

จากสมการ (2.15) และ (2.17) ต่างเท่ากับ D จะได้

$$-e^{-(\ell+i\kappa)a} \left( \frac{\ell-i\kappa}{2i\kappa} \right) A = e^{(-\ell+i\kappa)a} \left( \frac{\ell+i\kappa}{2i\kappa} \right) G \quad (2.19)$$

$$(2.18) \div (2.19)$$

$$\frac{e^{(-\ell+i\kappa)a} (\ell+i\kappa)}{e^{-(\ell+i\kappa)a} (\ell-i\kappa)} = \frac{e^{-(\ell+i\kappa)a} (\ell-i\kappa)}{e^{(-\ell+i\kappa)a} (\ell+i\kappa)}$$

$$e^{i(2\kappa a)} = \pm \frac{(\ell-i\kappa)}{(\ell+i\kappa)} \quad (2.20)$$

สมการ (2.20) แยกได้เป็น 2 กรณี คือ

$$\frac{\ell-i\kappa}{\ell+i\kappa} = -e^{i(2\kappa a)} \quad (2.21)$$

และ 
$$\frac{\ell - i\kappa}{\ell + i\kappa} = +e^{i(2\kappa a)} \quad (2.22)$$

พิจารณากรณี 
$$\frac{\ell - i\kappa}{\ell + i\kappa} = -e^{i(2\kappa a)}$$

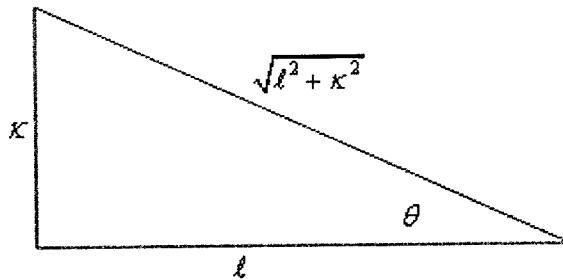
กำหนดให้ด้านซ้ายมือ  $\frac{\ell - i\kappa}{\ell + i\kappa} = +e^{-i(2\theta)}$  เมื่อ  $\theta$  คือมุมที่กำหนดขึ้นมาและจะนำไปหาความสัมพันธ์ระหว่าง  $\theta$  กับ  $\kappa a$

หรือ 
$$\frac{\ell^2 - \kappa^2}{\ell^2 + \kappa^2} - i \frac{2\ell\kappa}{\ell^2 + \kappa^2} = \cos 2\theta - i \sin 2\theta \quad (2.23)$$

จากสมการ (2.23) จะได้ 
$$\cos 2\theta = \frac{\ell^2 - \kappa^2}{\ell^2 + \kappa^2}$$

และจะได้ 
$$\cos \theta = \sqrt{\frac{1}{2}(\cos 2\theta + 1)} = \pm \frac{\ell}{\sqrt{\ell^2 + \kappa^2}}$$

นำไปสู่ 
$$\sin \theta = \pm \frac{\kappa}{\sqrt{\ell^2 + \kappa^2}} \quad \text{และ} \quad \cot \theta = \frac{\ell}{\kappa}$$



ด้านขวามือของสมการ (2.21)  $-e^{i(2\kappa a)} = e^{-i2\theta}$

นั่นคือ  $2\kappa a = \pi - 2\theta$

$$\theta = \frac{\pi}{2} - \kappa a$$

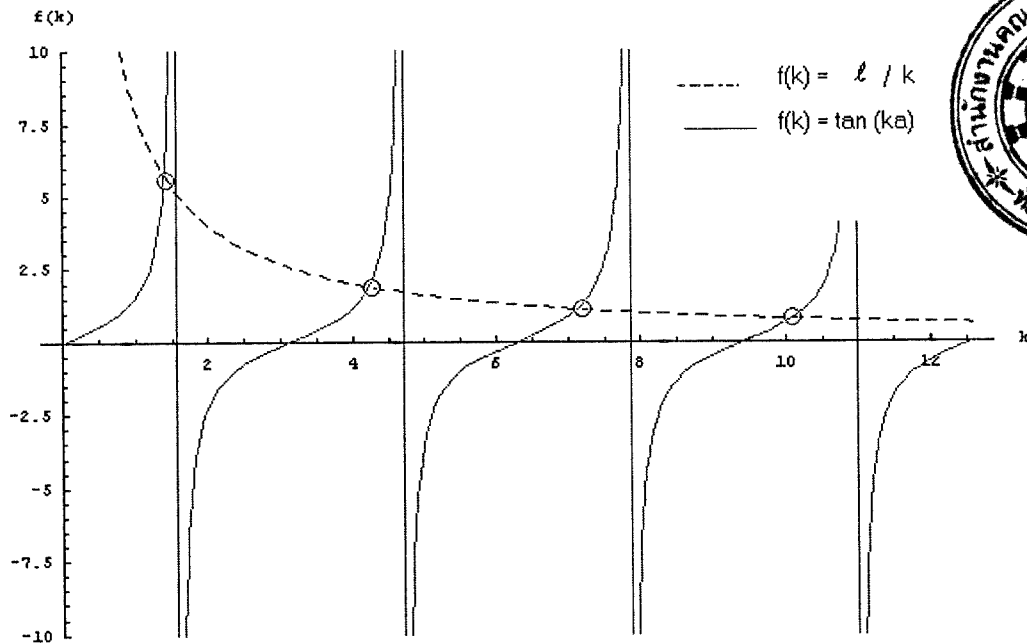
จาก  $\cot \theta = \frac{\ell}{\kappa}$  แทนค่า  $\theta$

$$\cot \theta = \cot\left(\frac{\pi}{2} - \kappa a\right) = \tan(\kappa a) = \frac{\ell}{\kappa}$$

$$\tan(\kappa a) = \frac{\ell}{\kappa} \quad (2.24)$$

เป็นจริงทุก ๆ ค่าของ  $\kappa$  โดยที่  $\tan(\kappa a)$  มีค่ามากกว่าหรือเท่ากับ 0

สมการที่ (2.24) สามารถนำไปใช้หาพลังงานของอนุภาคที่เป็นไปได้ภายในบ่อศักย์ เพราะ  $k$  เป็นฟังก์ชันกับ  $E$  แต่การหาค่า  $E$  ไม่สามารถทำได้โดยง่าย เพราะสมการที่ (2.24) เป็นฟังก์ชันอดิศัย (transcendental function) ตัวแปร  $k$  ปรากฏอยู่ในค่า  $\tan$  ด้านซ้ายมือ และยังปรากฏให้เห็นด้านขวามืออีกด้วย การหารากสมการนี้ต้องทำโดยวิธีคำนวณเชิงตัวเลข (numerical method) หรือ ใช้วิธีพล็อตกราฟ ระหว่าง  $\tan ka$  กับ  $\frac{\ell}{k}$  บนแกนเดียวกัน เพื่อหาจุดตัดของกราฟ



รูปที่ 2.2 กราฟแสดงความสัมพันธ์ระหว่าง  $\tan (ka)$  และ  $\frac{\ell}{k}$  กับ  $k$

จุดที่ตัดกันนั้นคือจุดที่  $k$  มีค่าเป็นไปได้สอดคล้องกับสมการที่ (2.24) เมื่อรู้ค่า  $k$  สามารถนำไปหาพลังงานของอนุภาคได้ ซึ่งแสดงให้เห็นว่า พลังงานสามารถมีค่าได้เพียงบางค่าหรือมีค่าไม่ต่อเนื่อง

ทดลองตรวจสอบผลลัพธ์ที่ได้โดย พิจารณากรณีที่  $V \rightarrow \infty$  ค่า  $\tan ka \rightarrow 0$  นั่นคือ  $ka = n\pi$  ฟังก์ชันคลื่น  $\psi$  จะหายไปทีหนึ่งบ่อ พลังงานของอนุภาค  $E$  หาได้จาก

$$E = \frac{\hbar^2 k^2}{2m} = \frac{\hbar^2 \left(\frac{n\pi}{a}\right)^2}{2m} = \frac{\hbar^2 n^2 \pi^2}{2ma^2}$$

ผลลัพธ์นี้สอดคล้องกับระดับพลังงานของอนุภาคที่ถูกกักอยู่ในบ่อศักย์สี่เหลี่ยมที่มีความสูงอนันต์

เพื่อให้ง่ายต่อการเขียนกราฟและอภิปรายผล จึงเปลี่ยนรูปของสมการ (2.24) ให้อยู่ในรูปของ cosine ดังนี้

สำนักงานคณะกรรมการวิจัยแห่งชาติ	
ห้องสมุดงานวิจัย	
วันที่.....	- 5 ส.ค. 2555
เลขทะเบียน.....	244418
เลขเรียกหนังสือ.....	

$$\tan^2 \kappa a + 1 = \frac{\ell^2 + \kappa^2}{\kappa^2} = \sec^2 \kappa a = \frac{1}{\cos^2 \kappa a} \quad (2.25)$$

เมื่อแทนค่า  $\ell$  และ  $\kappa$  จากสมการ (2.6) และ (2.7) ลงในเทอม  $\ell^2 + \kappa^2$

$$\text{จะได้ } \ell^2 + \kappa^2 = \frac{2mV(x)}{\hbar^2} = \kappa_0^2 \quad (2.26)$$

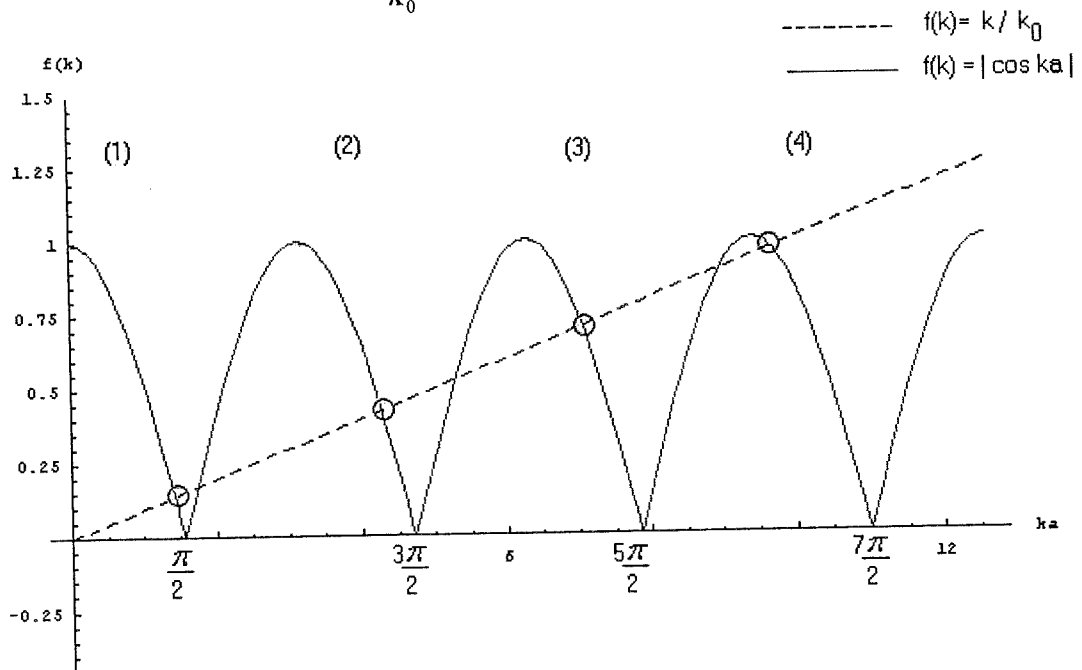
$\kappa_0$  จะเป็นตัวบอกความลึกของบ่อศักย์

สมการ (2.25) จะได้ผลลัพธ์เป็น

$$|\cos \kappa a| = \frac{\kappa}{\kappa_0} \quad (2.27)$$

สมการ (2.27) เป็นจริงสำหรับทุกค่าของ  $\kappa$  โดยที่  $\tan(\kappa a) \geq 0$

เขียนกราฟระหว่าง  $|\cos \kappa a|$  กับ  $\frac{\kappa}{\kappa_0}$  บนแกนเดียวกัน เพื่อหาจุดตัดของกราฟ



รูปที่ 2.3 เปลี่ยนรูปฟังก์ชัน  $\tan$ ให้อยู่ในรูป  $\cos$  เพื่อจะได้ดูง่ายขึ้น

บริเวณที่แรเงา (1) (2) (3) และ (4) เป็นบริเวณที่  $\tan \kappa a \geq 0$  จากค่า  $\kappa_0$  ที่กำหนดให้ จะได้ค่า  $\kappa$  ที่เป็นรากสมการของสมการ (2.27) จำนวน 4 ค่า ถ้า  $\kappa_0$  เพิ่มค่ามากขึ้น จะได้จำนวนรากสมการเพิ่มขึ้นตามไปด้วย จะเห็นว่าทุก ๆ ค่า  $\kappa_0$  จะต้องมีรากสมการหรือมีระดับพลังงานของ Bound state อย่างน้อย 1 ค่าเสมอ

พิจารณากรณี  $\frac{\ell - i\kappa}{\ell + i\kappa} = e^{-i(2\kappa a)}$

กำหนดให้ด้านซ้ายมือ  $\frac{\ell - i\kappa}{\ell + i\kappa} = e^{-i(2\theta)}$  เช่นเดียวกับกับกรณีแรก  
นั่นคือ

$$e^{-i(2\theta)} = e^{i(2\kappa a)}$$

$$2\theta = -2\kappa a$$

เพราะ  $\cot \theta = \frac{\ell}{\kappa}$  แทนค่า  $\theta$  จะได้

$$\cot(-\kappa a) = -\cot(\kappa a) = \frac{\ell}{\kappa}$$

$$-\cot(\kappa a) = \frac{\ell}{\kappa} \tag{2.28}$$

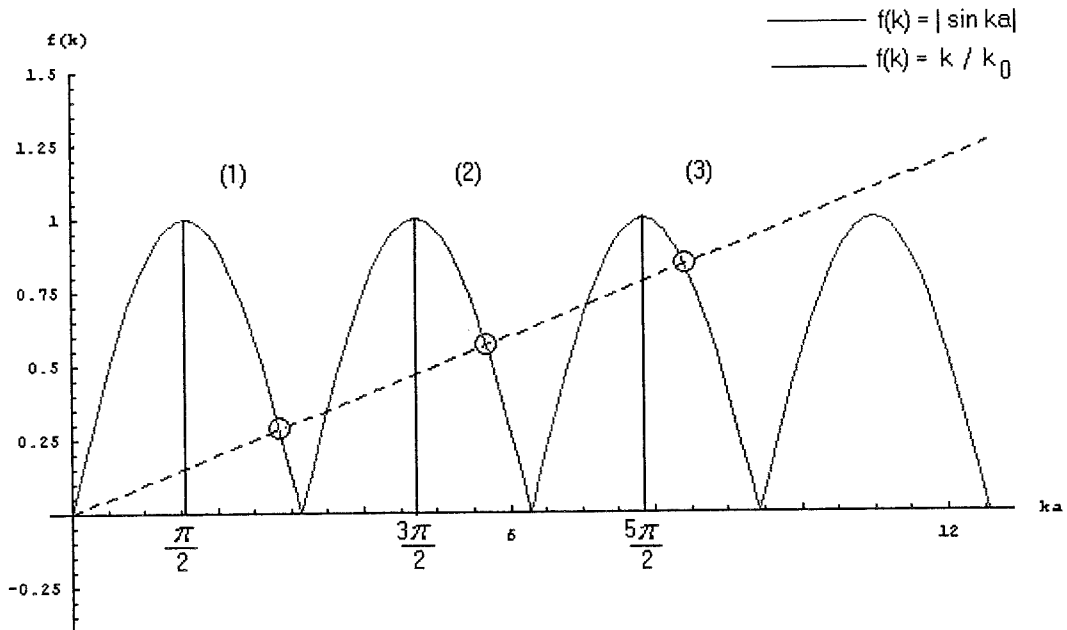
สมการ (2.28) เป็นจริงสำหรับทุก ๆ ค่าของ  $\kappa$  โดยที่  $\cot(\kappa a) \leq 0$

เพื่อให้ง่ายต่อการพล็อตกราฟ จึงเป็นรูปสมการ (2.28) ให้เป็นฟังก์ชันของ sine ดังนี้

$$1 + \cot^2 \kappa a = \frac{\kappa^2 + \ell^2}{\kappa^2} = \frac{\kappa_0^2}{\kappa^2} = \operatorname{cosec}^2 \kappa a = \frac{1}{\sin^2 \kappa a}$$

$$|\sin \kappa a| = \frac{\kappa}{\kappa_0} \tag{2.29}$$

เขียนกราฟระหว่าง  $|\sin \kappa a|$  กับ  $\frac{\kappa}{\kappa_0}$  บนแกนเดียวกัน เพื่อหาจุดตัดของกราฟ โดยเลือกจุดตัดที่เกิดขึ้นตรงบริเวณที่  $\cot(\kappa a) \leq 0$



รูปที่ 2.4 เปลี่ยนรูปฟังก์ชัน cot ให้อยู่ในรูป sin เพื่อจะได้ดูง่ายขึ้น

นำค่า  $\kappa$  ที่หาได้ไปแทนค่าลงในสมการ  $e^{i(2\kappa a)} = \pm \frac{(\ell - i\kappa)}{(\ell + i\kappa)}$  (สมการ (2.20)) เพื่อหาความสัมพันธ์ระหว่าง A, C, D และ G ได้ดังนี้

เมื่อ  $\frac{\ell - i\kappa}{\ell + i\kappa} = -e^{i(2\kappa a)}$  จะได้  $C = D$  และ  $A = G$  ทำให้ได้ฟังก์ชันคลื่นที่มีคุณสมบัติ  $\psi(-x) = \psi(x)$  ผลเฉลยที่ได้จะเป็น ฟังก์ชันคู่ (Even function)

เมื่อ  $\frac{\ell - i\kappa}{\ell + i\kappa} = +e^{i(2\kappa a)}$  จะได้  $C = -D$  และ  $A = -G$  ทำให้ได้ฟังก์ชันคลื่นที่มีคุณสมบัติ  $\psi(-x) = -\psi(x)$  ผลเฉลยที่ได้จะเป็น ฟังก์ชันคี่ (Odd function)

จากสมการ (2.24) และ (2.28) ทำให้เกิดฟังก์ชันคลื่นที่เป็นฟังก์ชันคู่และคี่ตามลำดับ นำความรู้ทางตรีโกณมิติ รวมสมการทั้งสองเป็นสมการเดียวกัน ดังนี้

จากสมการ (2.28) ซึ่งมีรูปสมการเป็น  $-\cot(\kappa a) = \frac{\ell}{\kappa}$  เขียนให้อยู่ในรูป  $\tan$  โดยอาศัยความสัมพันธ์  $\tan(\theta - \frac{\pi}{2}) = -\cot \theta$  สมการ (2.28) จะกลายเป็น

$$\tan(\kappa a - \frac{\pi}{2}) = \frac{\ell}{\kappa} \quad (2.30)$$

เมื่อนำสมการ (2.24) ไปพล็อตกราฟ จะได้ค่า  $\tan$  เป็นช่วง ๆ ดังรูปที่ 2.2 โดยอาศัยความสัมพันธ์ทางตรีโกณมิติ

$$\tan(\theta - \pi) = \tan(\theta - 2\pi) = \tan(\theta - 3\pi) \dots = \tan(\theta - m\pi) = \tan(\theta)$$

$$\text{เมื่อ } m = 0, 1, 2, 3, \dots$$

จึงเขียนสมการ (2.24) ให้อยู่ในรูปทั่วไปได้เป็น

$$\begin{aligned} \tan(\kappa a - m\pi) &= \frac{\ell}{\kappa} \\ \text{หรือ} \quad \kappa a &= m\pi + \tan^{-1} \frac{\ell}{\kappa} \end{aligned} \quad (2.31)$$

และเขียนสมการ (2.30) อยู่ในรูปทั่วไปได้เช่นกัน

$$\begin{aligned} \tan(\kappa a - \frac{\pi}{2} - m\pi) &= \frac{\ell}{\kappa} \\ \text{หรือ} \quad \kappa a &= \frac{\pi}{2} + m\pi + \tan^{-1} \frac{\ell}{\kappa} \end{aligned} \quad (2.32)$$

สมการ (2.31) คือสมการที่ทำให้ผลเฉลยเป็นฟังก์ชันคู่และ สมการ (2.32) คือสมการที่ทำให้ผลเฉลยเป็นฟังก์ชันคี่ เมื่อ  $m = 0, 1, 2, 3, \dots$  รูปสมการทั้งสองมีลักษณะคล้ายกัน ต่างกัน

ตรงค่า  $\frac{\pi}{2}$  ต้องการรวมสมการทั้งสองให้เขียนเป็นสมการเดียวกันเพื่อความกระชับ โดยจัดเงื่อนไขให้เหมาะสม จนสามารถสอดคล้องกับความเป็นฟังก์ชันคู่และคี่ของสมการได้

ถ้ากำหนดให้  $m = \frac{1}{2}(n-1)$  สามารถเขียนรวมสมการ (2.31) และ (2.32) ให้เหลือสมการเดียวดังนี้

$$\begin{aligned} \kappa a &= \frac{1}{2}(n-1)\pi + \tan^{-1} \frac{\ell}{\kappa} \\ 2\kappa a &= (n-1)\pi + 2 \tan^{-1} \frac{\ell}{\kappa} \end{aligned} \quad (2.33)$$

เมื่อ  $n = 1, 2, 3, \dots$  เป็นจำนวนเต็มบวกที่เริ่มต้นด้วย 1

เมื่อ  $n = 1, 3, 5, 7, 9, \dots$  จะสอดคล้องกับสมการ (2.31) หรือผลเฉลยที่ได้จะเป็นฟังก์ชันคู่

เมื่อ  $n = 2, 4, 6, 8, 10, \dots$  จะสอดคล้องกับสมการ (2.32) ผลเฉลยที่ได้จะเป็นฟังก์ชันคี่

ค่า  $n$  นี้คือเลขควอนตัม ที่แสดงสถานะของพลังงานของอนุภาคในระบบ จะเห็นว่า  $n$  ที่เป็นเลขคี่ จะให้ฟังก์ชันคลื่นที่เป็นฟังก์ชันคู่ ในทางกลับกัน  $n$  ที่เป็นเลขคู่ จะให้ฟังก์ชันคลื่นที่เป็นฟังก์ชันคี่ สมการ (2.33) ทำให้มองภาพการหาพลังงาน ( $E$ ) ได้ชัดเจนขึ้น เมื่อแทนค่า  $\kappa$  และ  $\ell$  ลงไป จะได้เป็น

$$2a\sqrt{\frac{2m}{\hbar^2}(V_0 - E)} = (n-1)\pi + 2 \tan^{-1} \sqrt{\frac{E}{V_0 - E}} \quad (2.34)$$

ในหน่วยอะตอม สมการจะถูกลดรูปเหลือเพียง

$$2a\sqrt{2(V_0 - E)} = (n-1)\pi + 2 \tan^{-1} \sqrt{\frac{E}{V_0 - E}}$$

สมการที่ (2.34) เป็นฟังก์ชันอดิศัย (transcendental function) จะเห็นว่าตัวแปร  $E$  ไม่สามารถเขียนแสดงความสัมพันธ์กันได้อย่างชัดเจน มี  $E$  ปรากฏอยู่ทางด้านซ้ายมือ และยังมี  $E$  ปรากฏให้เห็นด้านขวามืออีกด้วย การหาค่า  $E$  ไม่สามารถทำได้โดยวิธีวิเคราะห์ ต้องใช้วิธีการคำนวณเชิงตัวเลขเข้ามาช่วย

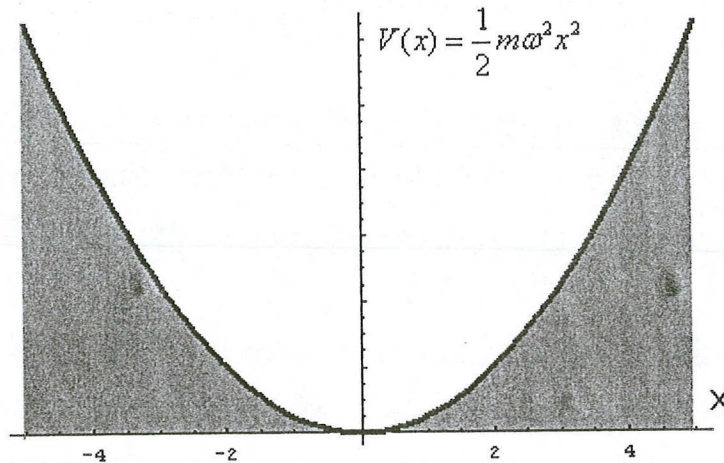
### 2.2.2 ฮาร์มอนิก ออสซิลเลเตอร์ แบบ 1 มิติ ( Harmonic Oscillator)

สมการชเรอดิงเงอร์เขียนได้เป็น

$$-\frac{\hbar^2}{2m} \frac{\partial^2 \psi(x)}{\partial x^2} + \frac{1}{2} m \omega^2 x^2 \psi(x) = E \psi(x) \quad (2.35)$$

เมื่อ  $V(x) = \frac{1}{2} m \omega^2 x^2$

$\omega$  คือความเร็วเชิงมุมของการสั่นของอนุภาคในหน่วย radian/sec



รูปที่ 2.5 พลังกัซันของ Harmonic oscillator

กำหนดให้  $\epsilon = \frac{2E}{\hbar\omega}$  และ  $\xi = \sqrt{\frac{m\omega}{\hbar}} x$

โดยใช้กฎลูกโซ่ (chain rule)

$$\frac{d\psi}{dx} = \frac{d\psi}{d\xi} \frac{d\xi}{dx} = \sqrt{\frac{m\omega}{\hbar}} \frac{d\psi}{d\xi}$$

$$\frac{d^2\psi}{dx^2} = \frac{d}{dx} \frac{d\psi}{dx} = \sqrt{\frac{m\omega}{\hbar}} \frac{d}{d\xi} \left( \frac{d\psi}{d\xi} \frac{d\xi}{dx} \right) = \sqrt{\frac{m\omega}{\hbar}} \frac{d^2\psi}{d\xi^2}$$

แทนค่าลงในสมการ (2.35) จะเหลือสั้น ๆ เพียง

$$\frac{d^2\psi_n}{d\xi^2} + (\epsilon - \xi^2) \psi_n = 0 \quad (2.36)$$

ในหนังสือกลศาสตร์ควอนตัมเกือบทุกเล่ม จะหาคำตอบของสมการอนุพันธ์ สมการ (2.36) นี้โดยการหาค่า  $\psi$  ที่  $\xi$  มีค่ามาก ๆ สู่อนันต์ ที่เรียกว่า asymptotic จากนั้นจึงกลับมาหาค่า  $\psi$  ที่  $\xi$  มีค่าน้อย ๆ ซึ่งจะได้ผลเฉลยทั่วไปของสมการอนุพันธ์นี้คือ

$$\psi(\xi) = H(\xi)e^{\frac{\xi^2}{2}}$$

ในที่นี้จะใช้ตัวปฏิบัติการดิฟเฟอเรนเชียล (Differential operator) หาค่าพลังงานของระบบ จัดรูปสมการ (2.36) ใหม่ โดยแทนค่า  $\varepsilon = \frac{2E}{\hbar\omega}$  กลับคืน จะได้

$$\left(-\frac{d^2}{d\xi^2} + \xi^2\right)\psi_n = \frac{2E_n}{\hbar\omega}\psi_n \quad (2.37)$$

จากคุณสมบัติของ Differential operator

$$\begin{aligned} \left(\xi - \frac{d}{d\xi}\right)\left(\xi + \frac{d}{d\xi}\right) &= \xi^2 - \frac{d^2}{d\xi^2} - \frac{d}{d\xi}\xi + \xi\frac{d}{d\xi} \\ &= \xi^2 - \frac{d^2}{d\xi^2} - 1 - \xi\frac{d}{d\xi} + \xi\frac{d}{d\xi} \\ &= \xi^2 - \frac{d^2}{d\xi^2} - 1 \end{aligned} \quad (2.38)$$

และ

$$\begin{aligned} \left(\xi + \frac{d}{d\xi}\right)\left(\xi - \frac{d}{d\xi}\right) &= \xi^2 - \frac{d^2}{d\xi^2} + \frac{d}{d\xi}\xi - \xi\frac{d}{d\xi} \\ &= \xi^2 - \frac{d^2}{d\xi^2} + 1 + \xi\frac{d}{d\xi} - \xi\frac{d}{d\xi} \\ &= \xi^2 - \frac{d^2}{d\xi^2} + 1 \end{aligned} \quad (2.39)$$

ใช้ความสัมพันธ์ในสมการ (2.38) และ (2.39) สามารถเปลี่ยนรูปสมการ (2.37) ได้ 2 แบบคือ

แบบที่ 1

$$\left[\left(\xi - \frac{d}{d\xi}\right)\left(\xi + \frac{d}{d\xi}\right) + 1\right]\psi_n = \frac{2E}{\hbar\omega}\psi_n$$

หรือ 
$$\left[ \left( \xi - \frac{d}{d\xi} \right) \left( \xi + \frac{d}{d\xi} \right) \right] \psi_n = \left( \frac{2E}{\hbar\omega} - 1 \right) \psi_n \quad (2.40)$$

แบบที่ 2

$$\left[ \left( \xi + \frac{d}{d\xi} \right) \left( \xi - \frac{d}{d\xi} \right) - 1 \right] \psi_n = \frac{2E}{\hbar\omega} \psi_n$$

หรือ 
$$\left[ \left( \xi + \frac{d}{d\xi} \right) \left( \xi - \frac{d}{d\xi} \right) \right] \psi_n = \left( \frac{2E}{\hbar\omega} + 1 \right) \psi_n \quad (2.41)$$

จากสมการ (2.40)

ให้ 
$$\phi_n = \left( \xi + \frac{d}{d\xi} \right) \psi_n \quad (2.42)$$

สมการที่ (2.40) จะเหลือเพียง

$$\left( \xi - \frac{d}{d\xi} \right) \phi_n = \left( \frac{2E}{\hbar\omega} - 1 \right) \psi_n$$

เมื่อใช้ Hamiltonian operator กระทำกับ  $\phi_n$  เพื่อหาค่าไอเกนของระบบ

$$\begin{aligned} \hat{H}\phi_n &= \left[ \left( \xi + \frac{d}{d\xi} \right) \left( \xi - \frac{d}{d\xi} \right) - 1 \right] \phi_n \\ &= \left( \xi + \frac{d}{d\xi} \right) \left[ \left( \xi - \frac{d}{d\xi} \right) \left( \xi + \frac{d}{d\xi} \right) - 1 \right] \psi_n \\ &= \left( \xi + \frac{d}{d\xi} \right) \left[ \left( \frac{2E}{\hbar\omega} - 1 \right) - 1 \right] \psi_n \\ &= \left( \frac{2E_n}{\hbar\omega} - 2 \right) \phi_n \end{aligned}$$

จะเห็นว่าค่าไอเกนที่สอดคล้องกับสมการชเรอดิงเงอร์คือ  $\left( \frac{2E_n}{\hbar\omega} - 2 \right)$

ในทำนองเดียวกันจากสมการ (2.41)

ให้ 
$$\theta_n = \left( \xi - \frac{d}{d\xi} \right) \psi_n \quad (2.43)$$

เมื่อใช้ Hamiltonian operator กระทำกับ  $\theta_n$  เพื่อหาค่าไอเกนของระบบ จะได้

$$\hat{H}\theta_n = \left( \frac{2E_n}{\hbar\omega} + 2 \right) \theta_n$$

จะเห็นว่า  $\left(\xi + \frac{d}{d\xi}\right)$  เป็น operator ที่ลดค่า (lower) พลังงานของระบบ และ  $\left(\xi - \frac{d}{d\xi}\right)$  เป็น operator ที่เพิ่มค่า (raise) พลังงานของระบบ

แต่การลดค่าพลังงาน สามารถลดค่าได้ไม่น้อยกว่าพลังงานต่ำสุดของบ่อศักย์ สำหรับฮาร์มอนิก ออสซิลเลเตอร์ มีค่าพลังงานต่ำสุดเท่ากับ ศูนย์ ดังนั้น

$$\left(\xi + \frac{d}{d\xi}\right)\psi_0 = 0$$
$$\frac{d\psi_0}{d\xi} = -\xi\psi_0$$

หาปริพันธ์ทั้งสองข้าง เพื่อหาฟังก์ชันคลื่น  $\psi_0$

$$\int \frac{d\psi_0}{\psi_0} = -\int \xi d\xi$$
$$\ln \psi_0 = -\frac{\xi^2}{2} + \ln A$$
$$\psi_0 = Ae^{-\frac{\xi^2}{2}} = Ae^{-\frac{m\omega x^2}{2\hbar}}$$

เมื่อ A คือค่าคงที่ใดๆ ฟังก์ชันคลื่นนี้เป็นฟังก์ชันคลื่นที่ยังไม่ได้ทำการ normalize ต้องการหาค่า  $E_0$  ทำได้โดยแทนค่า  $\psi_0$  ลงในสมการ (2.38)

$$\left[\left(\xi - \frac{d}{d\xi}\right)\left(\xi + \frac{d}{d\xi}\right)\right]\psi_0 = \left(\frac{2E}{\hbar\omega} - 1\right)\psi_0$$

ด้านซ้ายมือมีค่าเป็นศูนย์ เพราะ  $\left(\xi + \frac{d}{d\xi}\right)\psi_0 = 0$

จึงได้

$$\left(\frac{2E}{\hbar\omega} - 1\right) = 0$$
$$E_0 = \frac{\hbar\omega}{2}$$

เริ่มต้นจาก  $\psi_0$  สามารถใช้ raising operator โดยกำหนดให้  $\frac{1}{\sqrt{2}}\left(\xi - \frac{d}{d\xi}\right) = a_+$  หาค่าพลังงานที่ระดับพลังงาน n ต่าง ๆ กันได้

จากสมการ (2.43)

$$\theta_n = \left(\xi - \frac{d}{d\xi}\right)\psi_n$$

$$\theta_0 = a_+ \psi_0 = \frac{1}{\sqrt{2}} \left( \xi - \frac{d}{d\xi} \right) \psi_0 = C_0 \psi_1$$

และใช้ lower operator โดยกำหนดให้  $\frac{1}{\sqrt{2}} \left( \xi + \frac{d}{d\xi} \right) = a_-$  หาพลังงานที่เลขควอนตัม  $n$  มีค่าต่ำลง

จากสมการ (2.42)

$$\phi_n = \left( \xi + \frac{d}{d\xi} \right) \psi_n$$

$$\phi_1 = a_- \psi_1 = \frac{1}{\sqrt{2}} \left( \xi + \frac{d}{d\xi} \right) \psi_1 = D_1 \psi_0$$

เมื่อ  $C_0$  และ  $D_0$  เป็นค่าคงที่ การใช้ operator กระทบกับฟังก์ชันคลื่นเช่นนี้ ทำให้ได้เซตของพลังงานที่เลขควอนตัม  $n$  ใด ๆ ชุดหนึ่งดังนี้

$$E_n = \hbar \omega \left( n + \frac{1}{2} \right) \quad (2.44)$$

เมื่อ  $n = 0, 1, 2, 3, \dots$

ในการเขียนโปรแกรมเพื่อจำลองอนุภาคในบ่อศักย์ ต้องการให้  $n$  เริ่มต้นที่ 1, 2, 3, ... จึงแทนค่า  $n$  ด้วย  $n-1$  สมการ (2.44) จะกลายเป็น

$$E_{n-1} = \hbar \omega \left( n - \frac{1}{2} \right) \quad (2.45)$$

เมื่อ  $n = 1, 2, 3, \dots$

ขั้นตอนการหาพลังงานโดยใช้ตัวปฏิบัติการทั้งหมด สามารถนำไปเปรียบเทียบกับการใช้ตัวปฏิบัติการที่พบในหนังสือกลศาสตร์ควอนตัมทั่วไป ดังนี้

$$\text{ให้ } p = -i\hbar \frac{d}{dx}$$

เขียนสมการชเรอดิงเงอร์ให้อยู่ในรูปสมการพลังงานได้ดังนี้

$$\frac{1}{2m} (p^2 + (m\omega x)^2) \psi_n = E_n \psi_n$$

$p$  และ  $x$  ไม่เป็นไปตามกฎการสลับที่ นั่นคือ

$$[x, p] = xp - px = \frac{\hbar}{i} \left( x \frac{d}{dx} - \frac{d}{dx} x \right)$$

$$= \frac{\hbar}{i} \left( x \frac{d}{dx} - x \frac{d}{dx} - 1 \right) = i\hbar$$

$$\frac{1}{2m} (p^2 + (m\omega x)^2) \psi_n = \frac{1}{2m} ((m\omega x + ip)(m\omega x - ip) - m\hbar\omega) \psi_n$$

$$= \frac{1}{2m} ((m\omega x - ip)(m\omega x + ip) + m\hbar\omega) \psi_n$$

นิยามให้  $a_{\pm} = \frac{1}{\sqrt{2m\hbar\omega}} (\mp ip + m\omega x)$  จะสอดคล้องกับ  $a_{\pm} = \frac{1}{\sqrt{2}} \left( \xi \mp \frac{d}{d\xi} \right)$  ที่ได้แสดงไว้ในข้างต้น

### 2.2.3 บ่อศักย์แบบอื่น ๆ

บ่อศักย์แบบสามเหลี่ยมสมมาตร (Symmetric triangular well) เป็นบ่อศักย์ที่เป็นรูปสามเหลี่ยมที่สมมาตรในแนวแกน y พลังของบ่อศักย์จะมีลักษณะคล้ายกับพลังของบ่อศักย์ที่เกิดจากฮาร์มอนิก ออสซิลเลเตอร์ กั้นหลุมจะอยู่ที่จุดกำเนิด และพลังงานศักย์จะมีค่าเป็นบวก ต่างกันคือพลังของบ่อศักย์แบบสามเหลี่ยมจะลาดชันเป็นเส้นตรง สมการของบ่อศักย์ มีดังนี้

$$V(x) = V_0 |x|$$

บ่อศักย์แบบส่วนกลับของกำลังสองของไฮเพอร์โบลิก โคไซน์ (Inverse square hyperbolic cosine well) รูปของบ่อจะมีลักษณะคล้ายกับแบบฮาร์มอนิก ออสซิลเลเตอร์ (1 มิติ) แต่มีค่าเป็นลบ โดยที่ความลึกของบ่อคือ  $V_0$  สมการของบ่อศักย์มีลักษณะดังนี้

$$V(x) = -\frac{V_0}{\cosh^2(\alpha x)}$$

บ่อศักย์แบบแทนเจนต์กำลังสอง (Square tangent Well) เป็นบ่อศักย์ที่เกิดจากค่ากำลังสองของแทนเจนต์ จะมีลักษณะคล้ายกับบ่อศักย์รูปสี่เหลี่ยม. แต่กั้นหลุมจะมีพลังงานศักย์เป็นศูนย์ สมการของบ่อศักย์ คือ

$$V(x) = V_0 \tan^2 ax$$

$$\text{โดยที่ } -\frac{\pi}{2} \leq x \leq \frac{\pi}{2}$$

### 2.3 วิธีการคำนวณเชิงตัวเลขที่ใช้ในงานวิจัย

ในการหาผลเฉลยของสมการชเรอดิงเงอร์แบบ 1 มิติ ไม่ขึ้นกับเวลาตามสมการ (2.3) ที่มีรูปสมการ ดังนี้

$$\frac{\partial^2 \psi(x)}{\partial x^2} + 2(E - V(x))\psi(x) = 0$$

ค่า  $V(x)$  จะเปลี่ยนไปตามบ่อศักย์ที่เลือกใช้ สมการนี้เป็นสมการอนุพันธ์อันดับสอง การหาผลเฉลยซึ่งก็คือฟังก์ชันคลื่นของอนุภาค  $\psi(x)$  แล้วนำไปสู่การหาค่าพลังงาน  $E$  ซึ่งเป็นค่าเจาะจง (Eigen value) และระดับพลังงาน  $n$  ซึ่งมีค่าไม่ต่อเนื่อง วิธีการคำนวณเชิงตัวเลขที่ต้องนำมาใช้มีดังนี้

2.3.1 การหาผลเฉลยของสมการอนุพันธ์อันดับสอง โดยวิธีนูเมอโรฟ (Numerov's method)

Boris Vasil'evich Numerov. เป็นผู้คิดวิธีการหาผลเฉลยของสมการอนุพันธ์ ในปี 1927 โดยที่สมการอนุพันธ์จะต้องมีอันดับสองอยู่ในรูปแบบดังนี้

$$\frac{d^2 y}{dx^2} + f(x)y = g(x) \tag{2.46}$$

ให้  $f(x)$  และ  $g(x)$  เป็นฟังก์ชันที่มีค่าต่อเนื่องในช่วง  $[a, b]$  แบ่งค่า  $x$  ในช่วง  $a$  ถึง  $b$  นี้ ออกเป็นส่วนย่อยเท่า ๆ กัน แต่ละส่วนมีค่าเท่ากับ  $h$

จัดรูปสมการ (2.46) ใหม่จะได้เป็น

$$\frac{d^2 y}{dx^2} = -(f(x)y(x) - g(x))$$

เขียนสั้น ๆ ได้เป็น  $y_i'' = -(f_i y_i - g_i)$  (2.47)

เมื่อ  $f_i = f(x_i)$   $y_i = y(x_i)$  และ  $g_i = g(x_i)$

ให้  $\Delta x = h = x_i - x_{i-1}$

เริ่มต้นด้วยการกระจาย  $y(x_i)$  เป็นอนุกรมเทเลอร์ (Taylor series) รอบ ๆ จุด  $x_i$

$$y_{i+1} = y(x_i + h) = y(x_i) + hy'(x_i) + \frac{h^2}{2!} y''(x_i) + \frac{h^3}{3!} y'''(x_i) + \frac{h^4}{4!} y^{(4)}(x_i) + \frac{h^5}{5!} y^{(5)}(x_i) + \dots$$

$$y_{i-1} = y(x_i - h) = y(x_i) - hy'(x_i) + \frac{h^2}{2!} y''(x_i) - \frac{h^3}{3!} y'''(x_i) + \frac{h^4}{4!} y^{(4)}(x_i) - \frac{h^5}{5!} y^{(5)}(x_i) + \dots$$

นำสมการทั้งสองบวกเข้าด้วยกัน

$$y_{i+1} + y_{i-1} = 2y_i + h^2 y_i'' + \frac{h^4}{12} y_i^{(4)} + O(h^6)$$

แทนค่า  $y_i'' = -(f_i y_i - g_i)$  จากสมการ (2.47)

$$h^2 (f_i y_i - g_i) = 2y_n - y_{n+1} - y_{n-1} + \frac{h^4}{12} y_i^{(4)} + O(h^6) \tag{2.48}$$

จากสมการ (2.47) หาอนุพันธ์ 2 ครั้ง

$$y''''(x) = -\frac{d^2}{dx^2}(f(x)y(x) - g(x))$$

จากนิยามการหาอนุพันธ์อันดับสอง ที่ใช้ในวิชาแคลคูลัส

$$f''(x) = \frac{f(x+h) - 2f(x) + f(x-h)}{h^2}$$

ดังนั้น

$$y''''(x_i) = -\frac{d^2}{dx^2}(f(x_i)y(x_i) - g(x_i)) = -\frac{(f_{i+1}y_{i+1} - g_{i+1}) - 2(f_i y_i - g_i) + (f_{i-1}y_{i-1} - g_{i-1}))}{h^2} \quad (2.49)$$

แทนค่า  $y''''$  จากสมการ (4) ลงในสมการ (2.48)

$$h^2(f_i y_i - g_i) = 2y_i - y_{i+1} - y_{i-1} - \frac{h^4}{12} \frac{(f_{i+1}y_{i+1} - g_{i+1}) - 2(f_i y_i - g_i) + (f_{i-1}y_{i-1} - g_{i-1}))}{h^2} + O(h^6)$$

ต้องการหาค่า  $y_{i+1}$  จัดเทอมสมการบน เสียใหม่

$$\left(1 + \frac{h^2}{12} f_{i+1}\right) y_{i+1} = 2\left(1 - \frac{5h^2}{12} f_i\right) y_i - \left(1 + \frac{h^2}{12} f_{i-1}\right) y_{i-1} + \frac{h^2}{12} (g_{i+1} + 10g_i + g_{i-1}) + O(h^6) \quad (2.50)$$

สมการ (2.50) คือสมการที่ใช้ในการหาผลเฉลยของสมการอนุพันธ์อันดับสอง จากสมการชเรอดิงเงอร์ที่ไม่ขึ้นกับเวลา มีรูปสมการเป็น

$$\frac{\partial^2 \psi(x)}{\partial x^2} + \frac{2m}{\hbar^2} (E - V(x)) \psi(x) = 0$$

$$\text{ให้ } k^2(x) = \frac{2m}{\hbar^2} (E - V)$$

จะได้ 
$$\frac{\partial^2 \psi(x)}{\partial x^2} + k^2(x) \psi(x) = 0$$

ซึ่งมีรูปสมการสอดคล้องกับสมการ (2.46) โดยที่  $k^2(x)$  เทียบได้กับ  $f(x)$  และ  $g(x) = 0$  จึงสามารถ

ใช้วิธีนูนเมอโรฟมาแก้ปัญหานี้ได้ โดยตัดเทอม  $g(x)$  ทิ้งไป สมการ (2.50) จะเหลือเพียง

$$\left(1 + \frac{h^2}{12} f_{i+1}\right) y_{i+1} = \left(2 - \frac{5h^2}{6} f_i\right) y_i - \left(1 + \frac{h^2}{12} f_{i-1}\right) y_{i-1} + O(h^6)$$

$$y_{i+1} = \frac{(2 - \frac{5h^2}{6} f_i) y_i - (1 + \frac{h^2}{12} f_{i-1}) y_{i-1}}{(1 + \frac{h^2}{12} f_{i+1})} + O(h^6)$$

จะเห็นได้ว่าอนุกรมจะลู่เข้า (converge) ที่เทอมอันดับที่ 4 จึงตัดเทอม  $h^6$  ทิ้ง เมื่อนำตัวแปรในสมการชเรอดิงเงอร์ เทียบกับสมการ (2.50) จะได้

$$\psi_{i+1} = \frac{(2 - \frac{5h^2}{6} k_i^2) \psi_i - (1 + \frac{h^2}{12} k_{i-1}^2) \psi_{i-1}}{(1 + \frac{h^2}{12} k_{i+1}^2)} \quad (2.51)$$

ในการคำนวณเชิงตัวเลข ให้  $x_0, x_1, x_2, \dots, x_i, x_{i+1}, x_{i+2}, \dots, x_n$  หมายถึงจุดต่าง ๆ ซึ่งมีค่าอยู่ระหว่าง  $x = a$  ถึง  $x = b$  ต้องกำหนดเงื่อนไขขอบเขต (Boundary condition) มาให้ ต้องทราบค่า  $\psi_i, \psi_{i-1}$  จึงจะหาค่า  $\psi_{i+1}$  ได้

### 2.3.2. การหารากสมการโดยวิธีแบ่งครึ่งช่วง (Bisection method)

การหาค่าพลังงานของอนุภาค E ในบ่อศักย์ ดังสมการ (2.34) ไม่สามารถใช้วิธีวิเคราะห์หาได้โดยตรง การตรวจสอบผลลัพธ์ที่คำนวณได้จากการจำลองสถานการณ์ จึงต้องใช้วิธีการหารากสมการโดยวิธีแบ่งครึ่งช่วงหาผลลัพธ์เปรียบเทียบ จากสมการ (2.34)

$$2a\sqrt{2(V_0 - E)} = (n-1)\pi + 2 \tan^{-1} \sqrt{\frac{E}{V_0 - E}}$$

เมื่อ  $2a$  คือความกว้างของบ่อศักย์  $V_0$  คือความลึกของบ่อศักย์ซึ่งกำหนดมาให้ จัดรูปสมการใหม่ดังนี้

$$f(E) = 2a\sqrt{2(V_0 - E)} - (n-1)\pi - 2 \tan^{-1} \sqrt{\frac{E}{V_0 - E}}$$

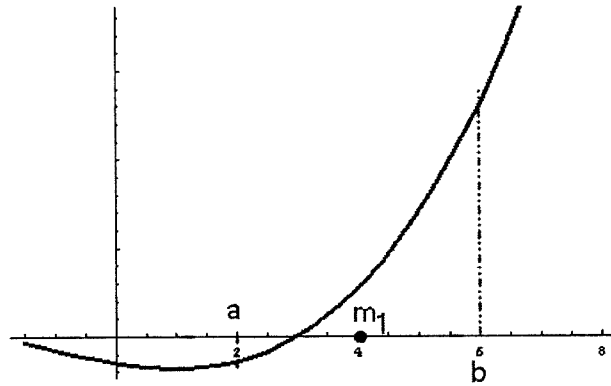
ถ้า E เป็นรากสมการ เมื่อแทนค่าลงไปในสมการแล้วจะทำให้  $f(E) = 0$

การหารากสมการโดยวิธีแบ่งครึ่งช่วง เริ่มต้น ด้วยการระบุช่วงตัวเลขที่ต้องการหารากสมการขึ้นมาก่อน สมมติว่าอยู่ในช่วง  $a$  ถึง  $b$  โดยที่ค่า  $b$  มีค่ามากกว่า  $a$  เขียนเป็นสัญลักษณ์ได้เป็น  $[a, b]$   $a$  คือ ขีดจำกัดล่าง  $b$  คือ ขีดจำกัดบน ค่าฟังก์ชัน  $f(x)$  ในช่วง  $[a, b]$  นี้ต้องมีค่าต่อเนื่อง

เมื่อนำ  $a$  และ  $b$  แทนค่าลงในฟังก์ชันแล้ว ผลคูณของค่าฟังก์ชันจะต้องมีค่าเป็นลบ ( $f(a) \cdot f(b) < 0$ )  
ขั้นตอนการหารากสมการมีดังนี้

ขั้นที่ 1 เลือกค่า  $a$  และ  $b$  โดยการสุ่มแต่ต้องทำให้  $f(a) \cdot f(b)$  น้อยกว่า ศูนย์ หรือเส้นกราฟมีจุดตัดบนแกน  $x$

ขั้นที่ 2 หารากสมการโดยประมาณโดยแบ่งครึ่งช่วง ระหว่าง  $a$  กับ  $b$  ให้จุดที่แบ่งครึ่ง (ครั้งที่ 1) นี้คือ  $m_1$  ( $m$  คือ midpoint)  $m_1 = (a + b)/2$  ดังรูป 2.6



รูปที่ 2.6 การแบ่งครึ่งช่วงครั้งที่ 1

ขั้นที่ 3 ขณะนี้ช่วง  $a$  และ  $b$  จะถูกแบ่งเป็น 2 ช่วง โดยมี  $m_1$  เป็นจุดแบ่งครึ่ง ตรวจสอบดูว่า รากสมการที่แท้จริงอยู่ช่วงใด

ก. ถ้า  $f(a) \cdot f(m_1) < 0$  แสดงว่ารากสมการอยู่ในช่วง  $[a, m_1]$

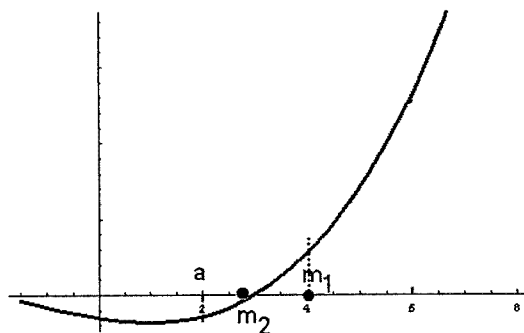
ข. ถ้า  $f(m_1) \cdot f(b) < 0$  แสดงว่ารากสมการอยู่ในช่วง  $[m_1, b]$

ค. ถ้า  $f(a) \cdot f(m_1) = 0$  หรือน้อยกว่าความคลาดเคลื่อนที่ยอมรับได้แสดงว่า  $m_1$  คือรากสมการและสิ้นสุดการคำนวณ

ขั้นที่ 4 ถ้า  $m_1$  ยังไม่ใช่รากสมการที่ต้องการ ให้แบ่งครึ่งช่วงอีก (ย้อนกลับไปขั้นที่ 2) จากรูปที่

2.7

$$m_2 = (a + m_1)/2$$



รูปที่ 2.7 การแบ่งครึ่งช่วงในขั้นตอนที่ 2

กระทำซ้ำเช่นนี้เรื่อย ๆ จนถึง  $k$  ครั้ง เมื่อได้  $f(m_{k-1}) \cdot f(m_k)$  เท่ากับศูนย์หรือน้อยกว่าความคลาดเคลื่อนที่กำหนดแล้ว ค่า  $m_k$  นี้คือรากสมการที่ต้องการ

การแบ่งครึ่งช่วงแต่ละครั้ง จะทำให้ความกว้างของช่วงตัวเลขแคบลงเรื่อย ๆ แต่ละครึ่งจุด  $m_k$  จะเป็นค่าประมาณของรากสมการ การกระทำซ้ำจะสิ้นสุดลงเมื่อ  $m_k$  อยู่ในช่วงความคลาดเคลื่อนที่ยอมรับได้ (given tolerance)

เพื่อป้องกันความผิดพลาดที่ไม่คาดคิดเกิดขึ้น ทำให้โปรแกรมทำงานวนรอบไม่สิ้นสุด จึงกำหนดจำนวนรอบสูงสุดของการกระทำซ้ำไว้ด้วย รายละเอียดของโปรแกรมที่ใช้คำนวณหารากสมการโดยวิธีแบ่งครึ่งช่วง ได้แสดงไว้ในภาคผนวก 3

### 2.3.3 การหาปริพันธ์โดยใช้วิธีแบ่งเป็นสี่เหลี่ยมคางหมู (Trapezoidal rule)

การหาปริพันธ์ใช้ในการ normalize ฟังก์ชันคลื่น ตามสมการ (2.5) ในที่นี้เลือกใช้วิธีแบ่งพื้นที่ใต้เส้นโค้งให้เป็นรูปสี่เหลี่ยมคางหมูเล็ก ๆ เป็นจำนวนมาก แล้วรวมพื้นที่เล็ก ๆ ของสี่เหลี่ยมคางหมูเหล่านี้จะได้เป็นผลลัพธ์ของการหาปริพันธ์ในช่วงที่ต้องการ

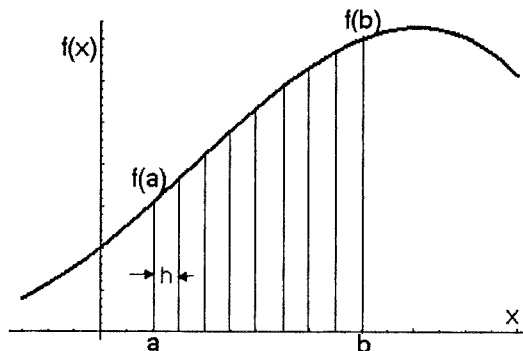
การหาปริพันธ์ของฟังก์ชัน  $f(x)$  ที่มีค่าต่อเนื่องในช่วง  $a, b$  โดยที่  $a \leq x \leq b$  เขียนเป็นสัญลักษณ์  $\int_a^b f(x)dx$  มีค่าเท่ากับพื้นที่ใต้เส้นโค้งของ  $f(x)$  ในช่วงดังกล่าว

การหาพื้นที่ใต้เส้นโค้ง ทำได้โดยแบ่งพื้นที่ออกเป็นรูปเหลี่ยมเล็ก ๆ จำนวนมาก (เรียกรูปเหลี่ยมเล็ก ๆ นี้ว่า quadrilaterals หรือ numerical quadrature) จากนั้นรวมพื้นที่เล็ก ๆ เหล่านี้เข้าด้วยกัน กลายเป็นพื้นที่ส่วนที่แรเงาทั้งหมด

เขียนเป็นสมการได้ดังนี้

$$\int_a^b f(x)dx = \sum_{i=1}^N f(x_i) \omega_i$$

เมื่อ  $N$  คือจำนวนเส้นที่แบ่งพื้นที่ใต้โค้งจากรูป  $N = 9$  จะแบ่งพื้นที่ออกเป็น 8 ส่วนเล็ก ๆ  $\omega_i$  คือค่าน้ำหนัก (weight) ของ  $f(x)$  ของแต่ละค่า  $i$



รูปที่ 2.8 แสดงการแบ่งพื้นที่ในช่วง  $x = a$  ถึง  $x = b$  เป็นสี่เหลี่ยมคางหมูเล็ก ๆ

แบ่งพื้นที่ใต้โค้งในช่วง  $a$  ถึง  $b$  ออกเป็นช่องเล็ก (interval) กว้างช่องละ  $h$  แต่ละช่องลากเส้นตรงเชื่อมจุดบนเส้นโค้งจะเกิดเป็นสี่เหลี่ยมคางหมูเป็นจำนวนมาก รวมสี่เหลี่ยมคางหมูเล็ก ๆ เหล่านี้ทั้งหมดจะได้เป็นค่าประมาณของการหาปริพันธ์ของ  $f(x)$  ในช่วง  $a$  ถึง  $b$  ยิ่งแบ่งช่วงระยะ  $h$  ให้มีค่าน้อยเท่าใดเส้นตรงที่ลากเชื่อมจุดต่าง ๆ บนเส้นโค้งจะทับกับเส้นกราฟของฟังก์ชันที่แท้จริงมากขึ้นเพียงนั้น

ที่จุด  $x_i$  ใด ๆ สามารถหาค่าโดยวัดจาก  $a$  เป็นหลัก

$$x_i = a + (i-1)h \quad \text{เมื่อ } i = 1, 2, \dots, N$$

เมื่อแทน  $x_i = b$  โดยที่  $i = N$  จะได้

$$h = \frac{b-a}{N-1}$$

พื้นที่สี่เหลี่ยมคางหมูแต่ละส่วนเล็ก ๆ

$$\begin{aligned} \int_{x_i}^{x_{i+h}} f(x) dx &\cong \frac{1}{2} \times \text{ฐาน} \times (\text{ผลบวกด้านคู่ขนาน}) \\ &= \frac{1}{2} h (f(x_i) + f(x_{i+1})) \end{aligned}$$

พื้นที่ทั้งหมดใต้เส้นโค้งในช่วง  $[a, b]$  คือ

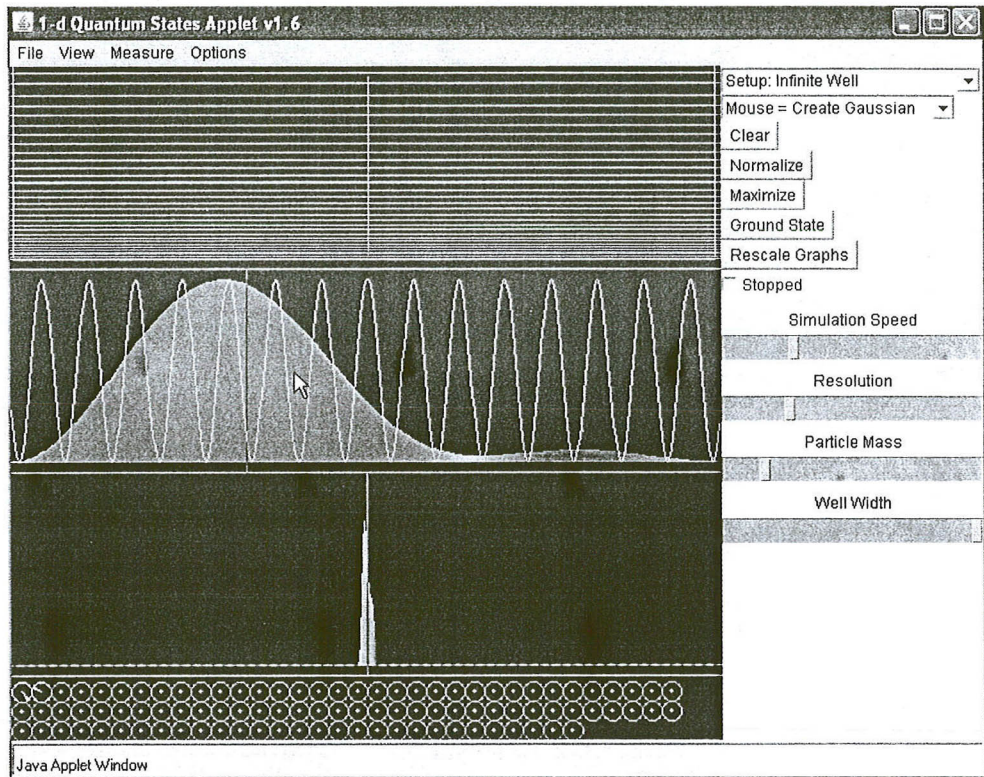
$$\begin{aligned} \int_a^b f(x) dx &\cong \frac{h}{2} f(x_1) + hf(x_2) + hf(x_3) + \dots + hf(x_{N-1}) + \frac{h}{2} f(x_N) \\ &= \left( \sum_{i=1}^n f(x_i) - \frac{f(x_1)}{2} - \frac{f(x_n)}{2} \right) h \end{aligned}$$

จุด  $x_i$  ที่ไม่ใช่เป็นจุดปลายจะถูกนับ 2 ครั้ง จากสมการจะเห็นว่าค่าน้ำหนัก ( $w_i$ ) ที่  $x_i$  ใด ๆ คือ

$$w_i = \left\{ \frac{h}{2}, h, \dots, h, \frac{h}{2} \right\}, \quad i=1, N$$

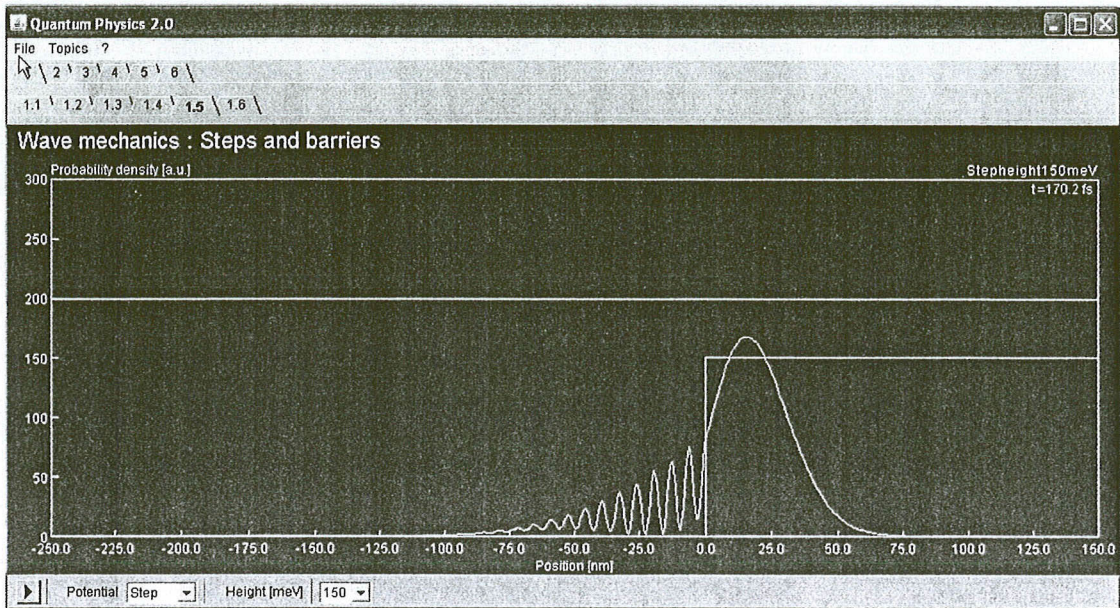
2.4 งานวิจัยหรือโปรแกรมเกี่ยวกับการจำลองสถานการณ์ในกลศาสตร์ควอนตัม การจำลองสถานการณ์ในกลศาสตร์ควอนตัม ได้มีผู้จัดทำและเผยแพร่ ผลงานเป็นที่ น่าสนใจมีดังนี้

Falstad, Paul ได้สร้างโปรแกรมแสดงการเคลื่อนที่ของอนุภาคแบบ 1 มิติ ในบ่อศักย์แบบ สี่เหลี่ยม แสดงผลในรูปของ applet สามารถเข้าถึงได้จาก <http://www.falstad.com/>



รูปที่ 2.9 แสดงการจำลองอนุภาคในบ่อศักย์แบบสี่เหลี่ยม

Joffre, M. Basdevant, J. และ Dalibard, J. ภาควิชาฟิสิกส์ สถาบัน Ecole Polytechnique ประเทศฝรั่งเศส เข้าถึงโดย <http://www.quantum-physics.polytechnique.fr/> ได้สร้างโปรแกรม จำลองการแพร่ของ Gaussian wave packet เมื่อคลื่นกระทบกับกำแพงศักย์ และศักย์ที่มีค่าเป็นชั้น โดยใช้ค่าเริ่มต้นได้มาจากการทดลองให้อิเล็กตรอนเคลื่อนที่ในสารกึ่งตัวนำ GaAs กำหนดพลังงาน จลน์ของอิเล็กตรอนมีค่าเริ่มต้นที่ 200 eV เมื่อกำหนดให้กำแพงศักย์มีค่าสูงกว่าพลังงานของ อิเล็กตรอนมาก ๆ จะเห็นการสะท้อนของคลื่นได้อย่างชัดเจน ตรงกับคำทำนายของกลศาสตร์ คลาสสิก และเกิดปรากฏการณ์แทรกสอดระหว่างคลื่นตกกระทบกับคลื่นสะท้อนให้เห็นด้วย มี คลื่นบางส่วนที่สามารถส่งผ่านไปยังกำแพงศักย์ ซึ่งจะมีความเร็วลดลงมาก เนื่องจากพลังงานจลน์ ของอิเล็กตรอนลดต่ำลง เป็นการแสดงเหตุการณ์การเกิด Tunnel effect



รูปที่ 2.10 แสดงสมบัติความเป็นคลื่นของอนุภาค

Raedt H. ศูนย์ฟิสิกส์ทฤษฎีและวัสดุศาสตร์ (Theoretical Physics and Materials Science Centre) ของมหาวิทยาลัย Groningen เว็บไซต์ <http://rugth30.phys.rug.nl/quantummechanics/> ได้สร้างบทเรียนวิชากลศาสตร์ควอนตัม จำลองสถานการณ์ต่าง ๆ ในบทเรียน เช่น การเคลื่อนที่ของอนุภาคอย่างอิสระ การเคลื่อนที่ของอนุภาคในสนามของแรง บางส่วนเขียนด้วยภาษา FORTRAN บางส่วนเขียนด้วย FLASH จากนั้นจับภาพเคลื่อนไหวเหล่านั้นแปลงเป็น video file แสดงภาพเคลื่อนไหวโดยใช้โปรแกรม real player

Open Source Physics หรือ OSP มีเว็บไซต์อยู่ที่ <http://www.compadre.org/osp/> เป็นโครงการที่ได้รับการสนับสนุนจาก National Science Foundation and วิทยาลัยเดวิดสัน (Davidson College) เน้นการศึกษาฟิสิกส์โดยใช้คอมพิวเตอร์เข้ามามีส่วนช่วยในการเรียนการสอน ได้จัดทำคลังโปรแกรมที่เปิดเผยโปรแกรมต้นฉบับ (open source code libraries) เกี่ยวกับการคำนวณเชิงตัวเลข โปรแกรมจำลองปรากฏการณ์ทางฟิสิกส์ด้านต่าง ๆ จัดทำเครื่องมือที่ช่วยทำให้การเขียนโปรแกรมคอมพิวเตอร์สำหรับเรียนรู้บทเรียนทางฟิสิกส์ได้ง่ายขึ้นเรียกว่า Ejs หรือ Easy java simulation มีทำบทเรียนชุดสำเร็จสำหรับฟิสิกส์ขั้นสูง ในชุดบทเรียนประกอบด้วยหนังสือประกอบการเรียน โปรแกรมคอมพิวเตอร์ที่เกี่ยวข้องกับเรื่องนั้น ๆ และใบงานที่ใช้ในบทเรียน บทเรียนบางเรื่องสามารถศึกษาและดาวน์โหลดได้ผ่านทางเว็บไซต์

โปรแกรมทั้งหมดเขียนเป็นภาษาจาวามีการเปิดเผยรายละเอียดของ source code ทั้งหมดสามารถนำไปพัฒนาต่อยอด หรือดัดแปลงแก้ไขใช้ร่วมกับโปรแกรมที่กำลังพัฒนา

The screenshot shows a web browser window displaying the Open Source Physics (OSP) website. The URL in the address bar is <http://www.compadre.org/osp/document/ServeFile.cfm?ID=7209&DocID=375>. The page features a navigation menu on the left with categories like SIMULATIONS, EJS MODELING, CURRICULUM, PROGRAMMING, TOOLS, BROWSE MATERIALS, RELATED SITES, DISCUSSION, and ABOUT OSP. A search bar is located at the top right. The main content area is titled "Classical Model of Helium" and includes a description of the simulation, a central plot area, and control buttons. The plot shows a central nucleus and two electrons in a potential well. The text on the page describes the classical problem of a helium atom and mentions that it is similar to gravitational problems of two electrons moving in a  $2/r$  potential well. The page also includes a "Download" link and a "Clear" button for the simulation controls.

รูปที่ 2.11 เว็บไซต์ของ Open source physics